

1/19

Fig. 1

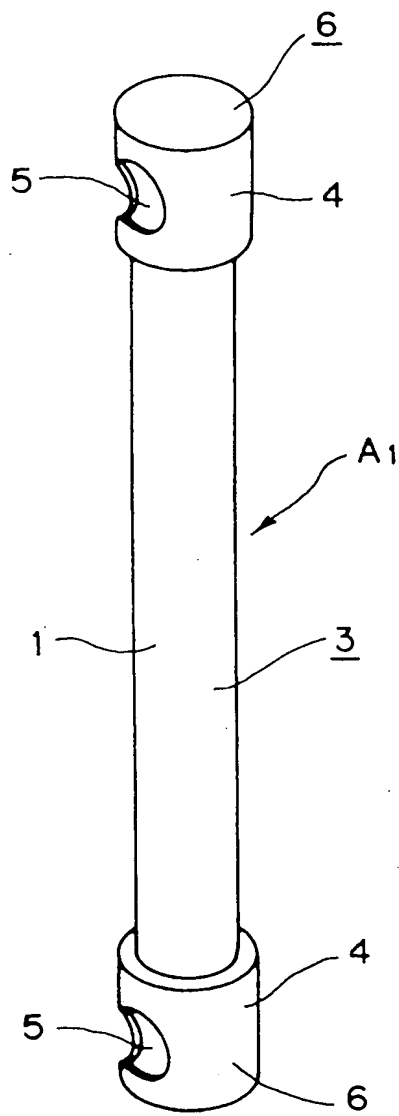
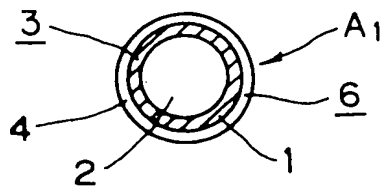


Fig. 2



2/19

Fig. 3

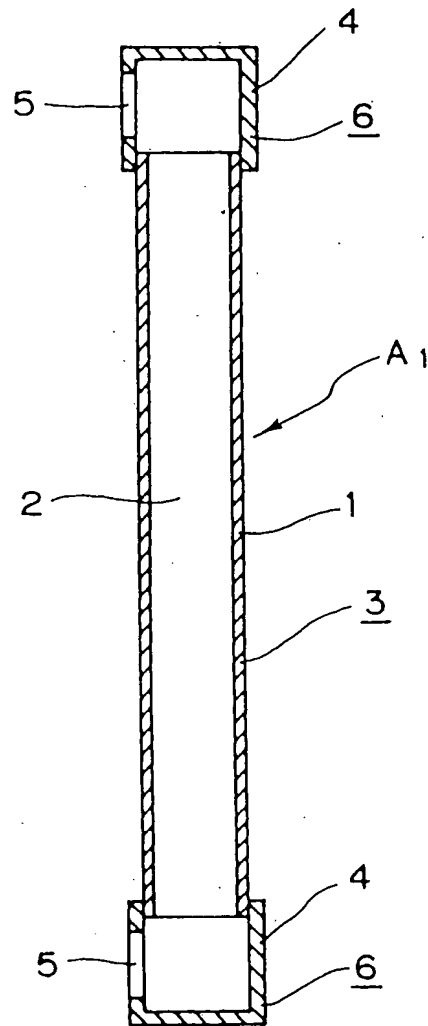


Fig. 4

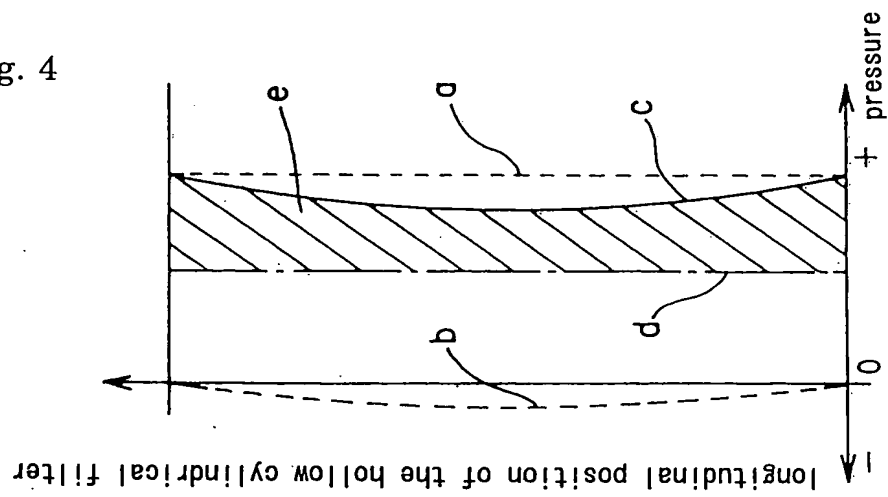


Fig. 5

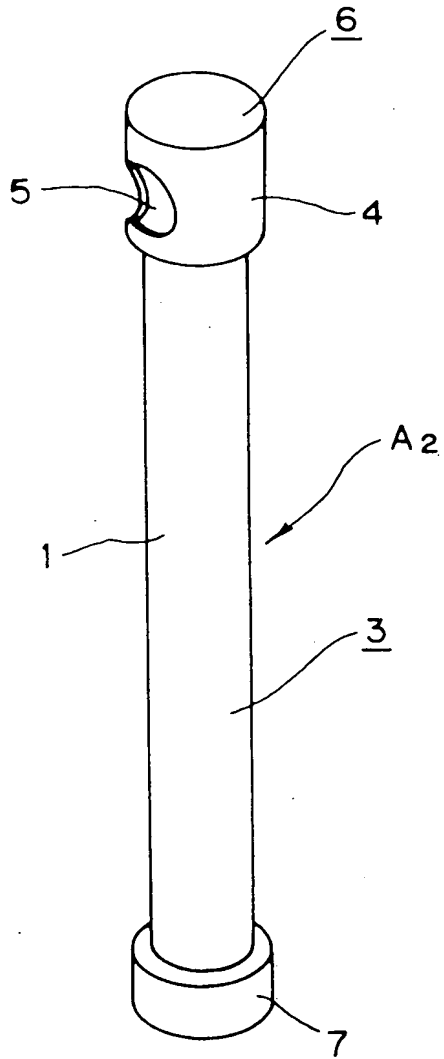
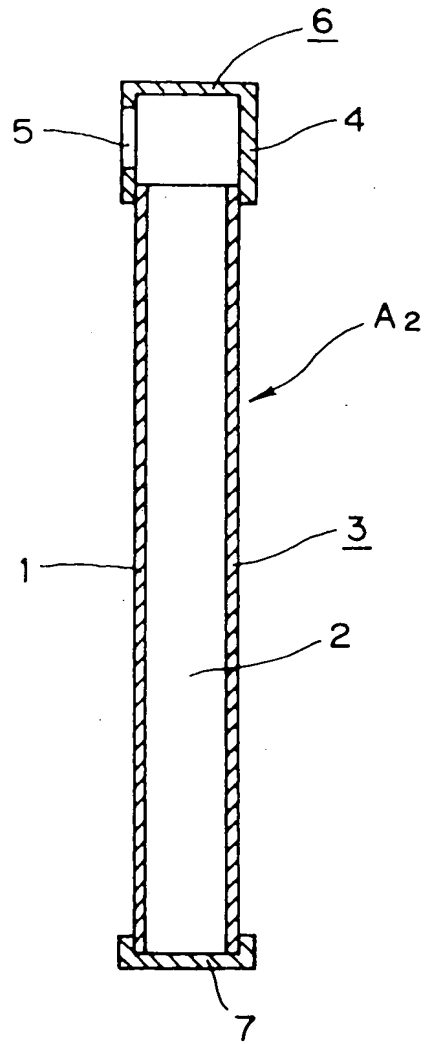


Fig. 6



4/19

Fig. 7

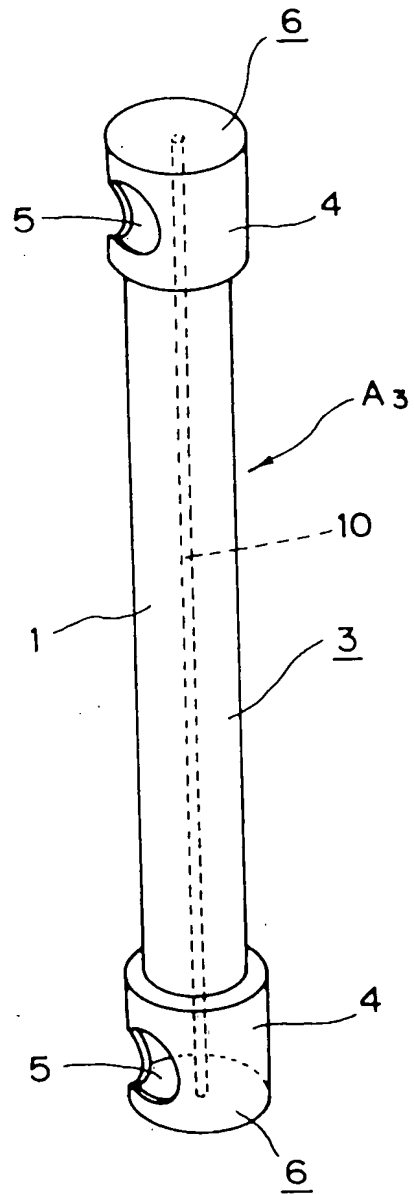
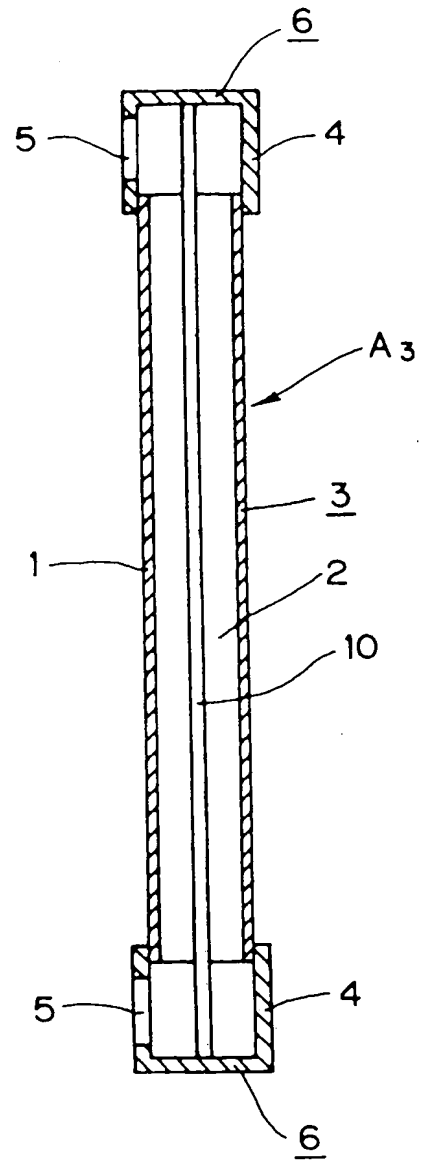


Fig. 8



5/19

Fig. 9

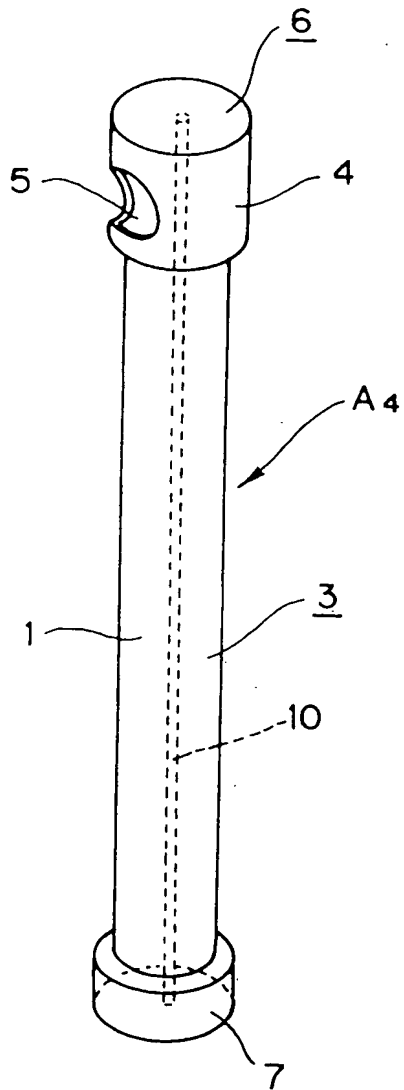
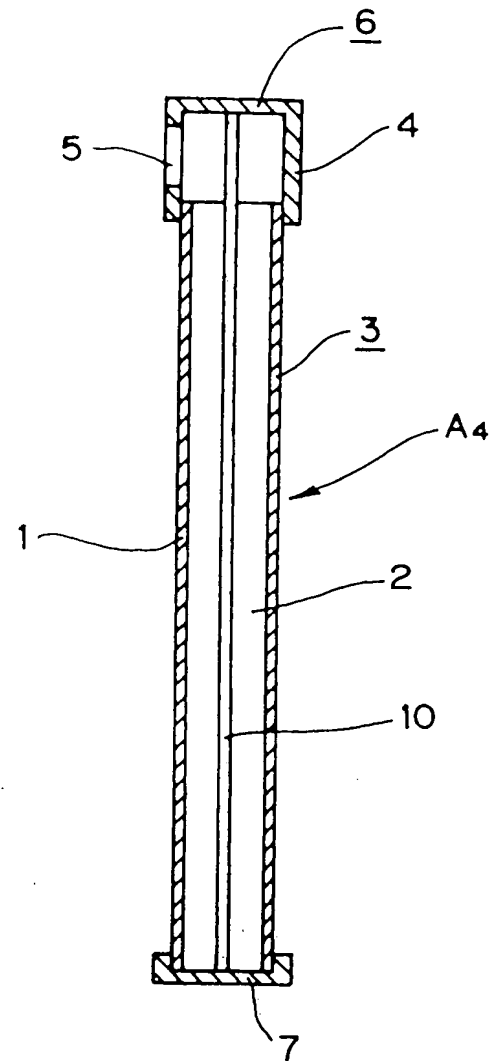


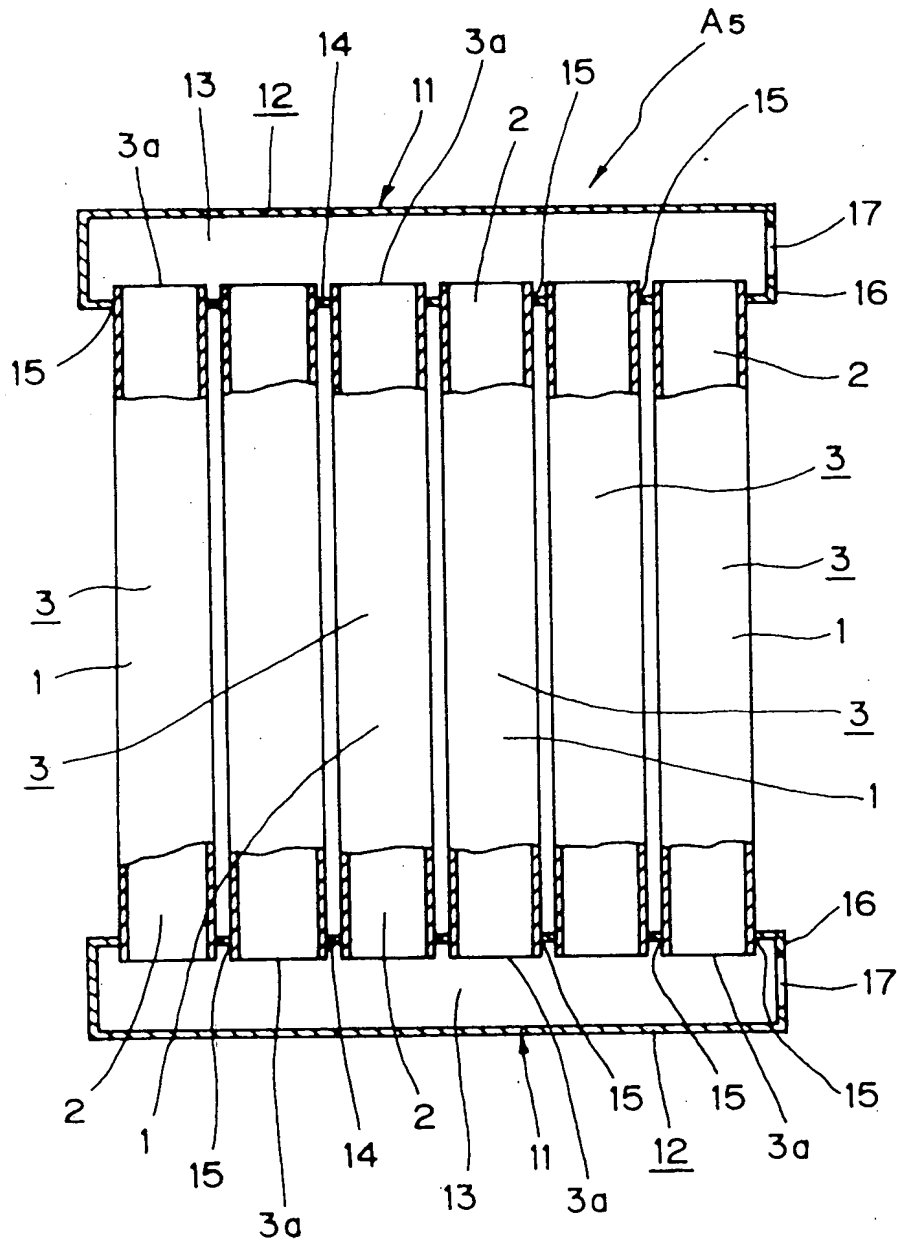
Fig. 10





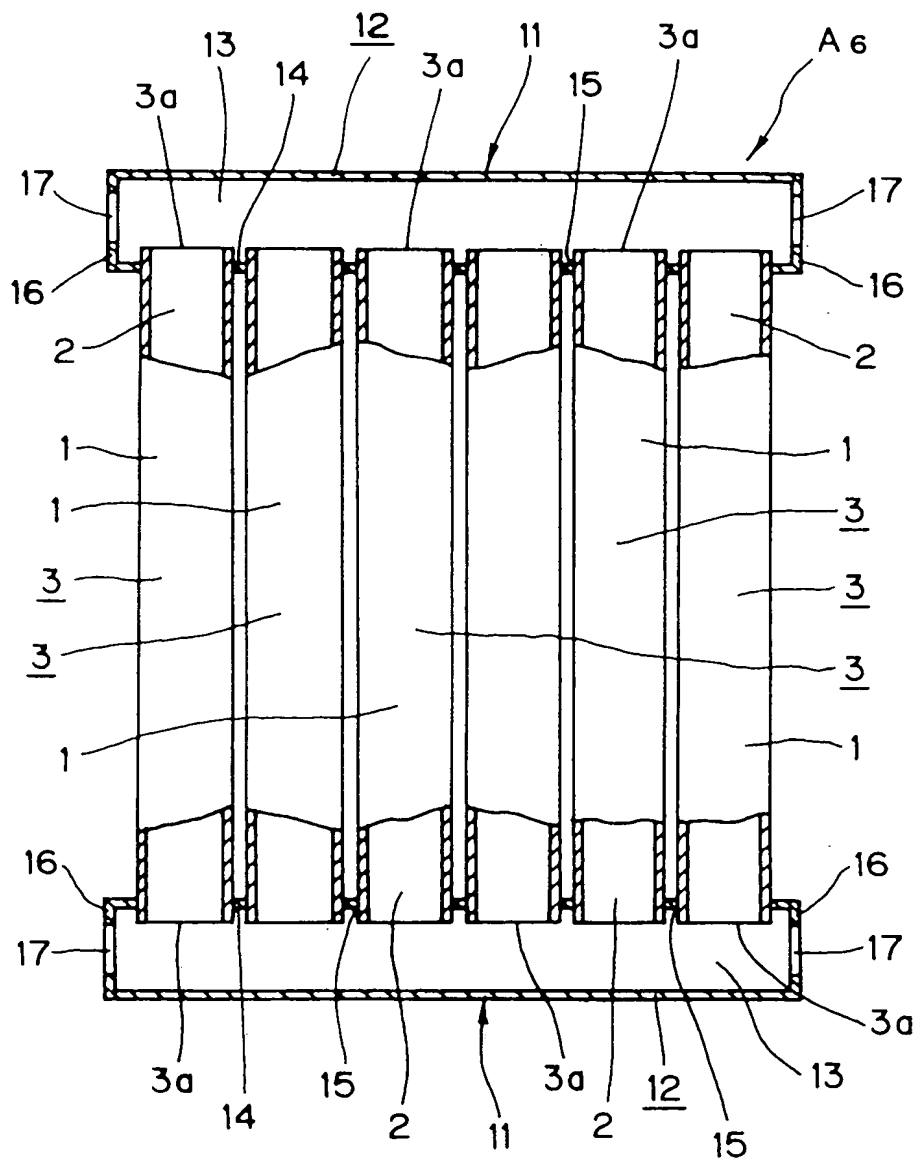
7/19

Fig. 12



8/19

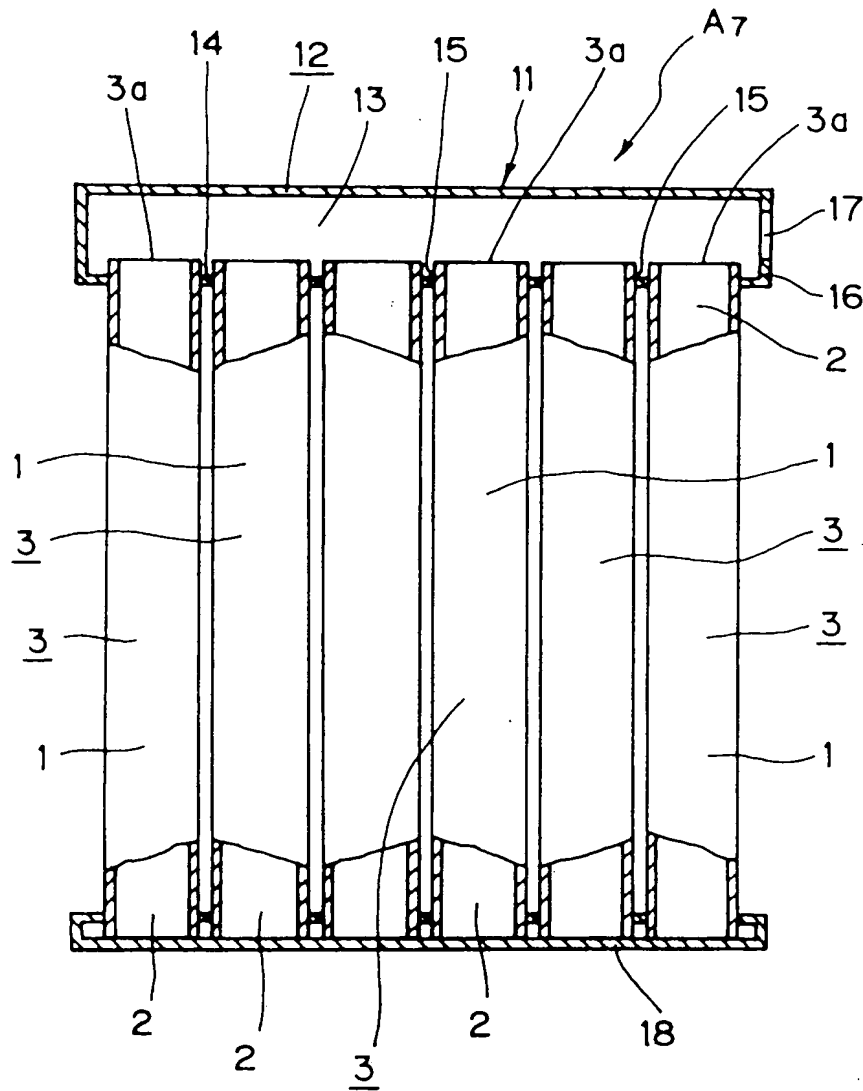
Fig. 13





9/19

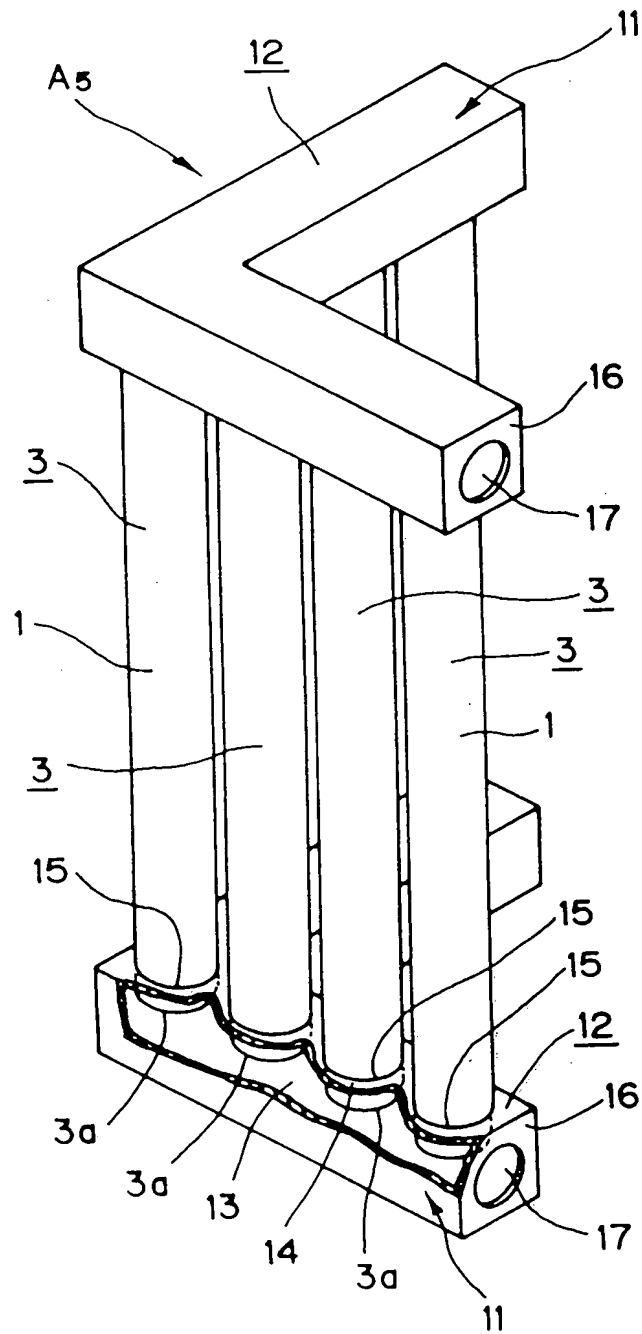
Fig. 14





11/19

Fig. 16



12/19

Fig. 17

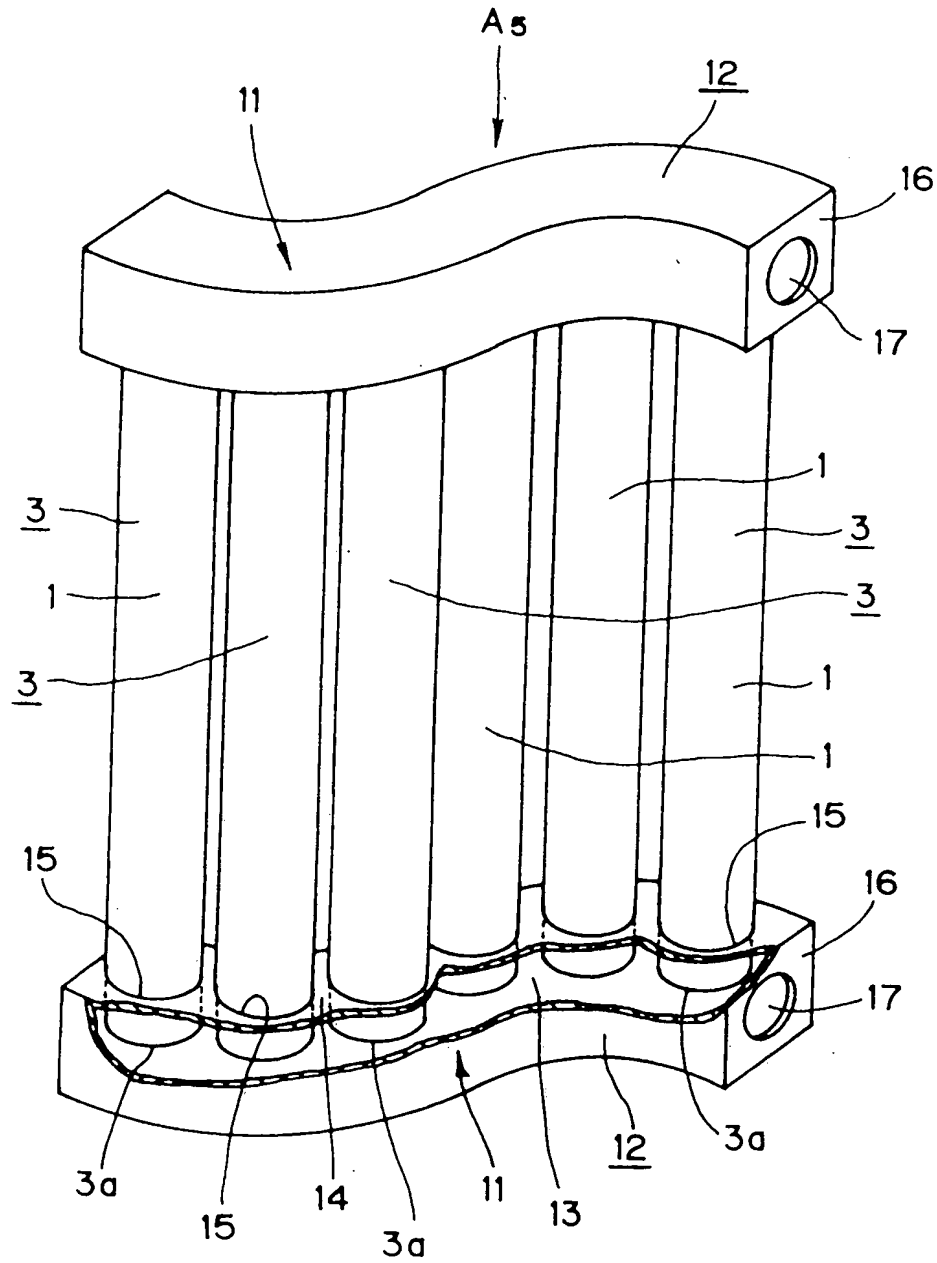


Fig. 18

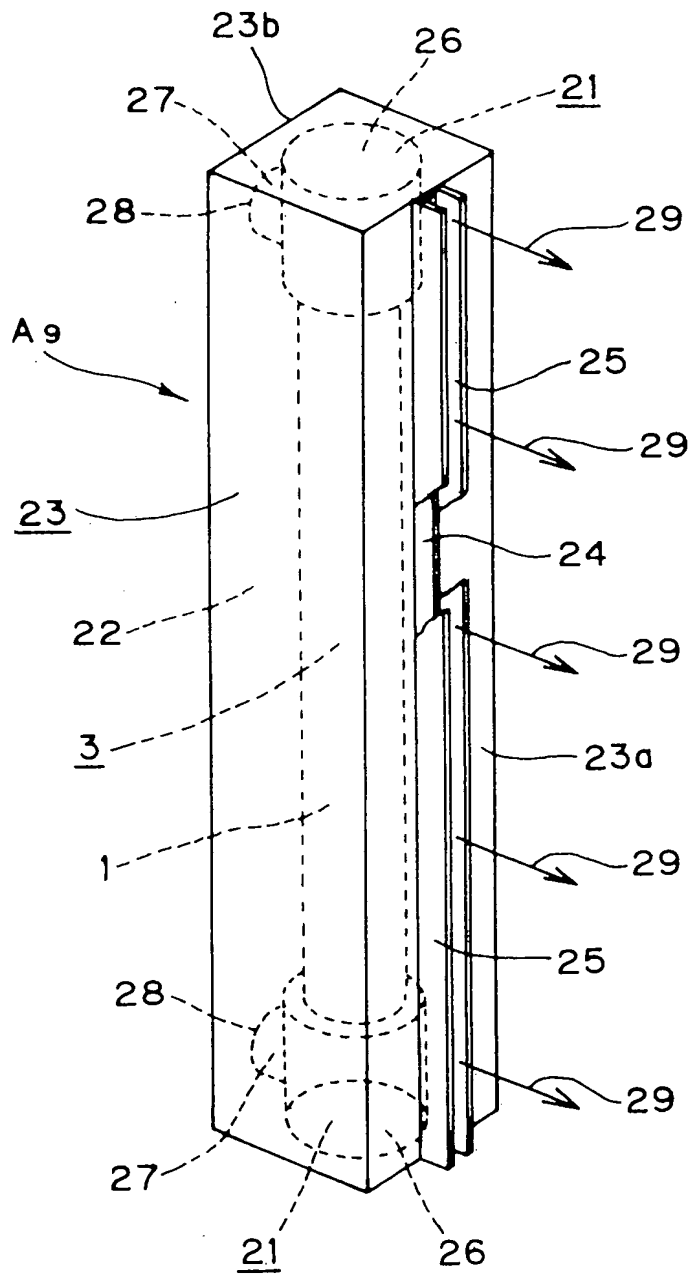


Fig. 19

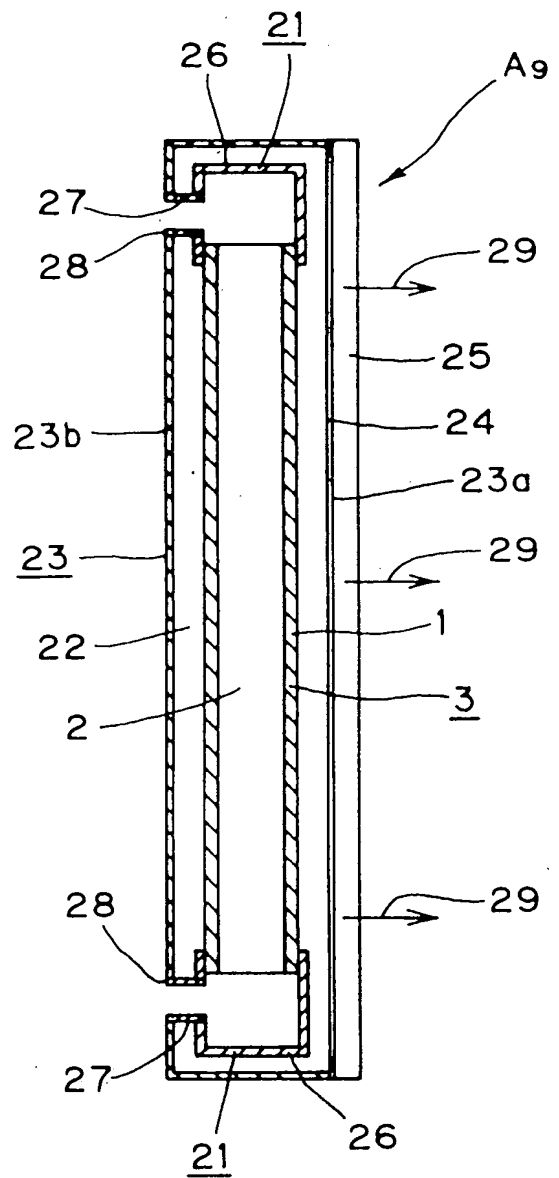




Fig. 22

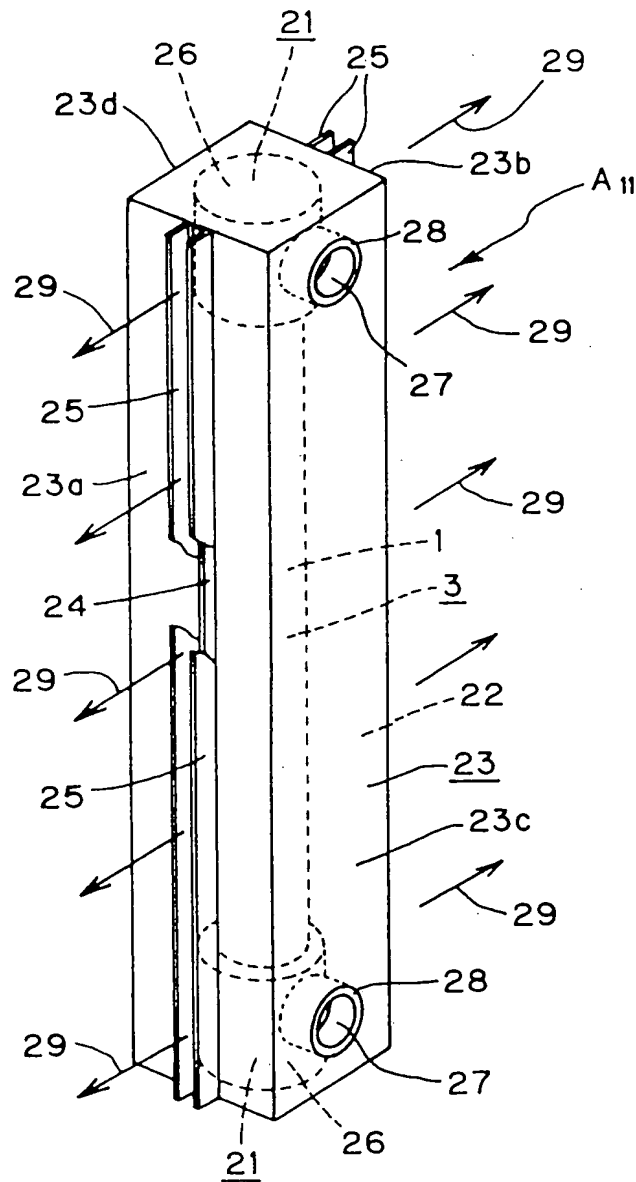


Fig. 23

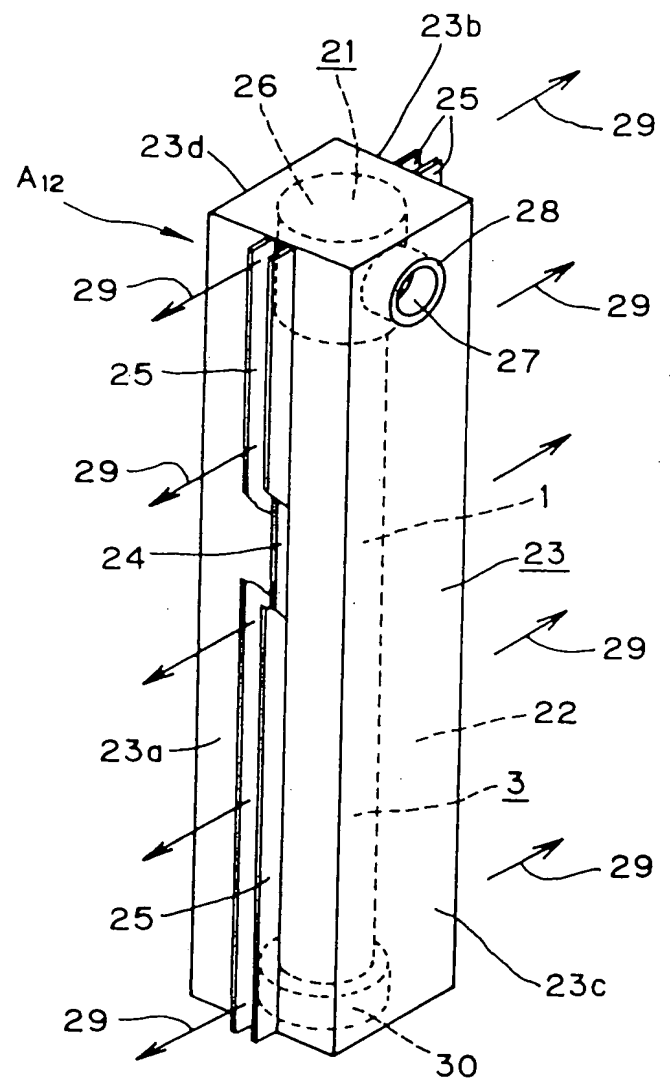


Fig. 24

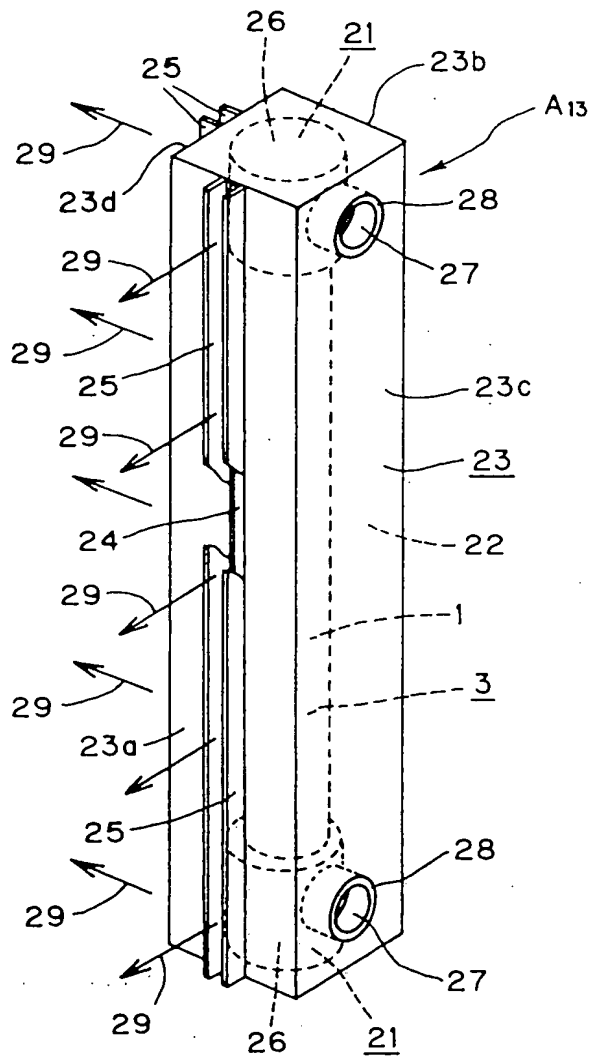
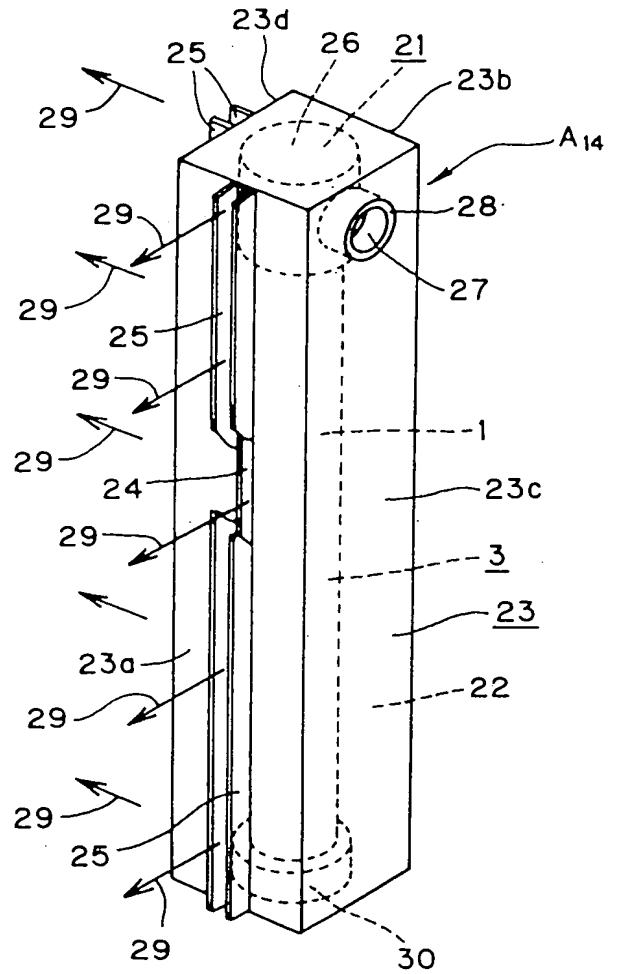


Fig. 25





17/19

Fig. 26

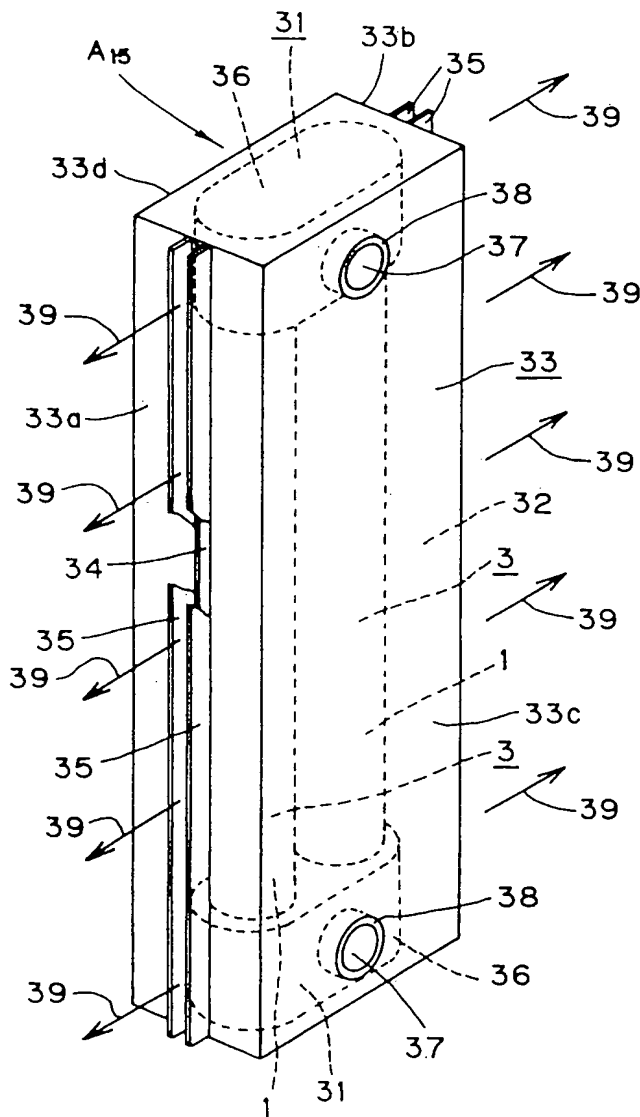


Fig. 27

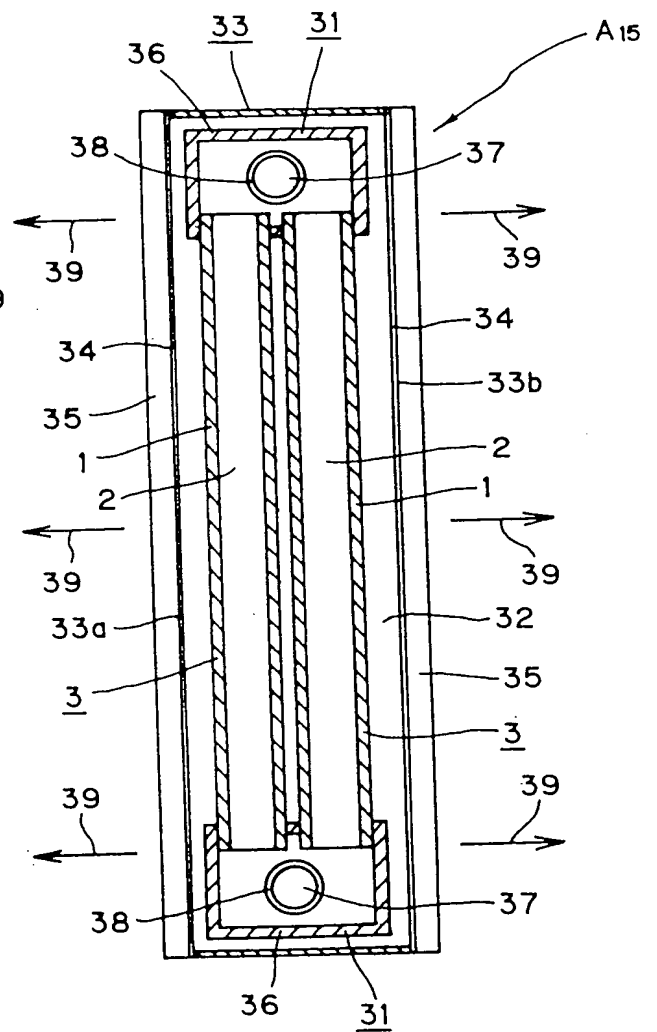


Fig. 28

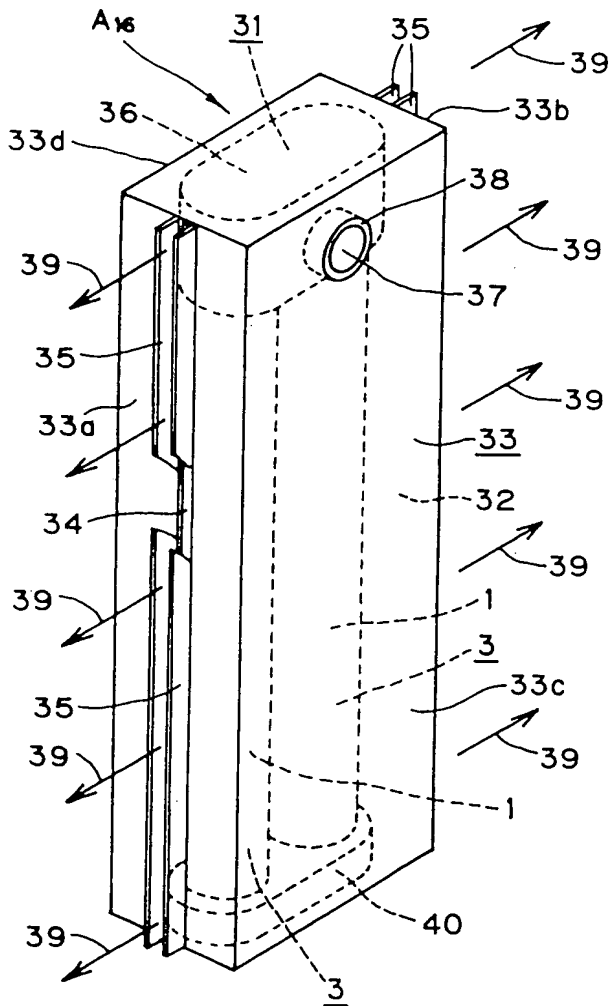


Fig. 29

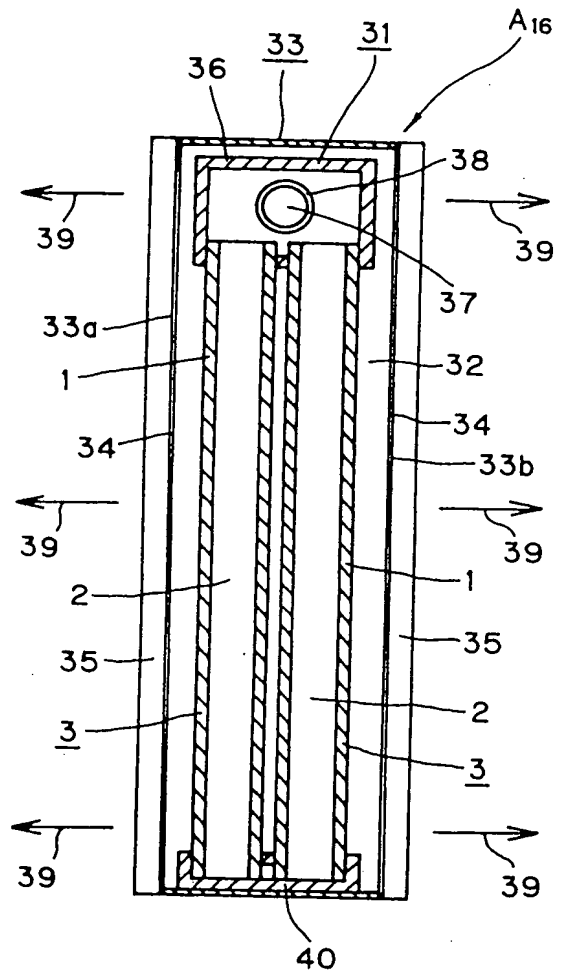


Fig. 30

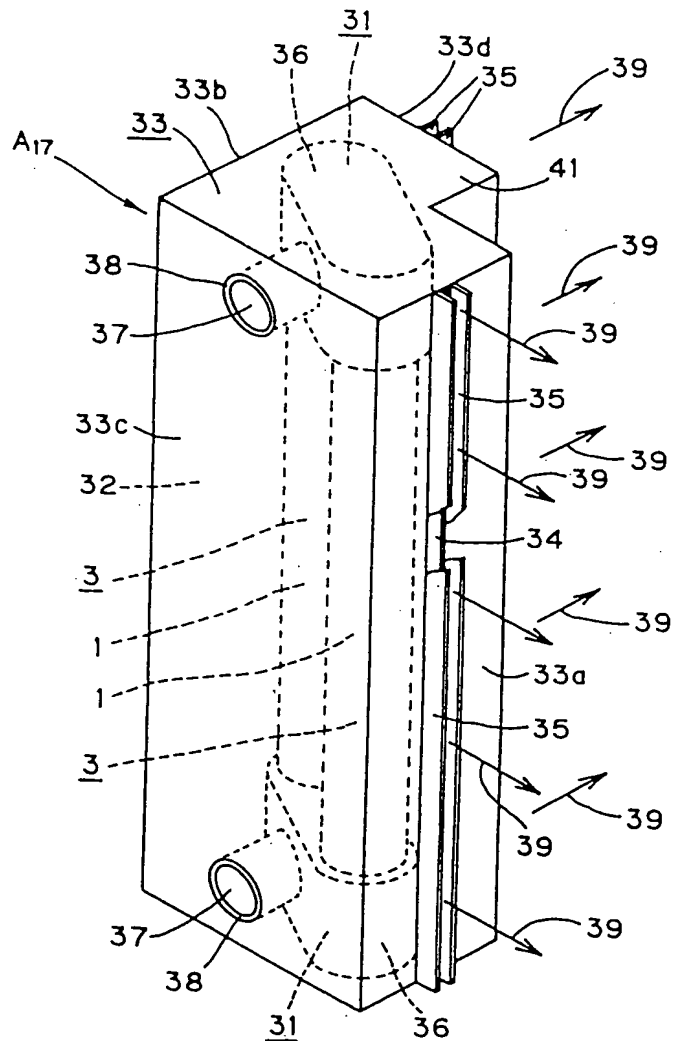


Fig. 31

